

# 東北大サイクロにおける $\gamma$ 線核分光

東北大サイクロトロンRIセンター  
東北大大学院理学研究科  
鈴木 智和

February 19-20, 2006

# Contents

## 1. Hyperball-2

- Detectors, Advantages, Disadvantages
- BGO anti-Compton supressor
- FERA-VME DAQ system

## 2. Nuclear Chirality

- Criteria for Nuclear Chirality
- Lifetime Measurements in the  $A \sim 130$  region
- Chiral Candidates and Possible Existance in the  $A \sim 100$  region

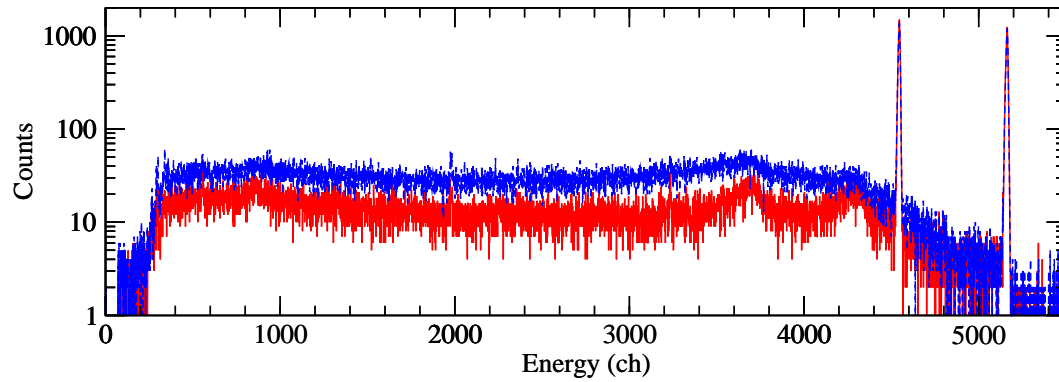
## 3. Experiments with Hyperball-2

- Spectra, Linear Polarization
- Experiment Result

## 4. Possible experiments for nuclear chirality in RCNP



# BGO anti-Compton suppressor

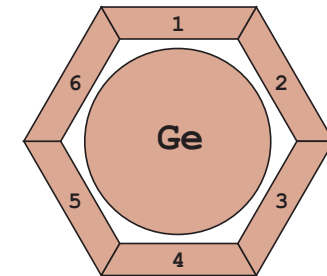
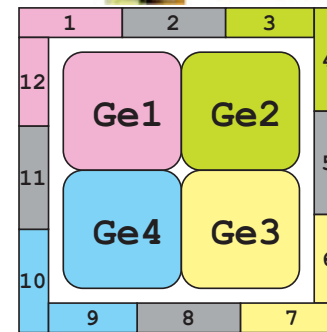
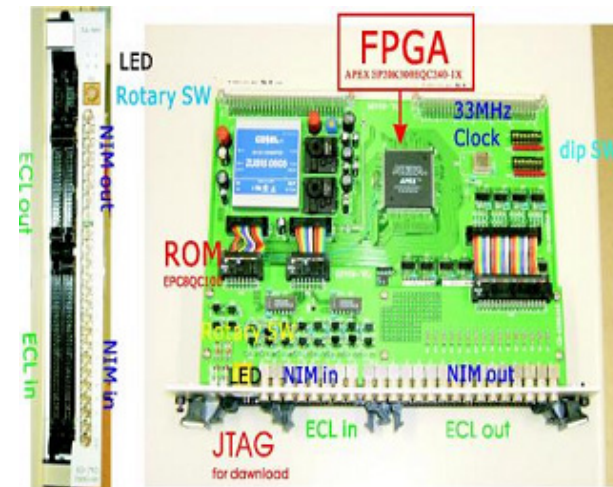


- Ge-1 ×  $\overline{\text{BGO1} \cup \text{BGO2} \cup \text{BGO11} \cup \text{BGO12}}$
- Ge-2 ×  $\overline{\text{BGO2} \cup \text{BGO3} \cup \text{BGO4} \cup \text{BGO5}}$
- Ge-3 ×  $\overline{\text{BGO5} \cup \text{BGO6} \cup \text{BGO7} \cup \text{BGO8}}$
- Ge-4 ×  $\overline{\text{BGO8} \cup \text{BGO9} \cup \text{BGO10} \cup \text{BGO11}}$



12 BGO + 1 Ge = 13 TUL IN channels  
 → 78 TUL IN channels for 6 Clovers

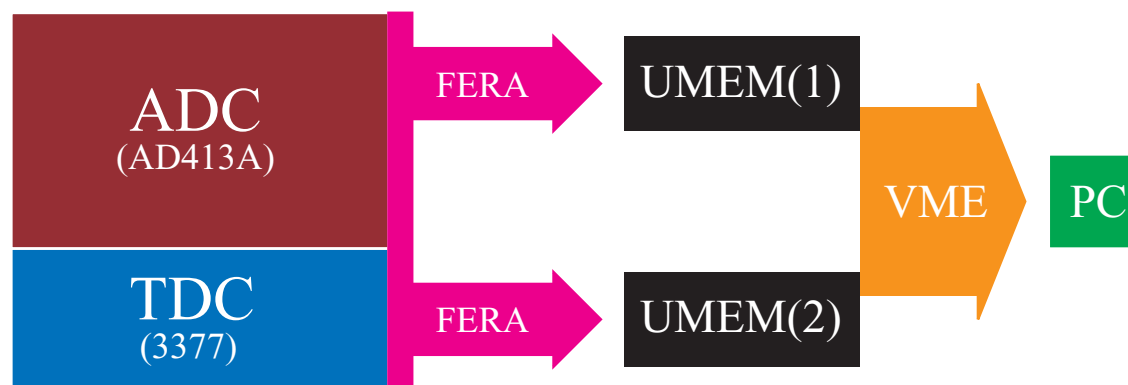
32 ECL IN + 16 NIM IN = 48 IN per TUL



Peak/Total	BGO OFF	BGO ON
Normal type	~18%	~32%
Clover(individual)	~10%	~15%
Clover(add-back)	~20%	~30%

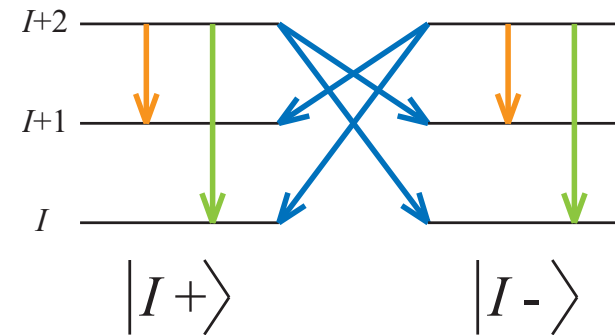
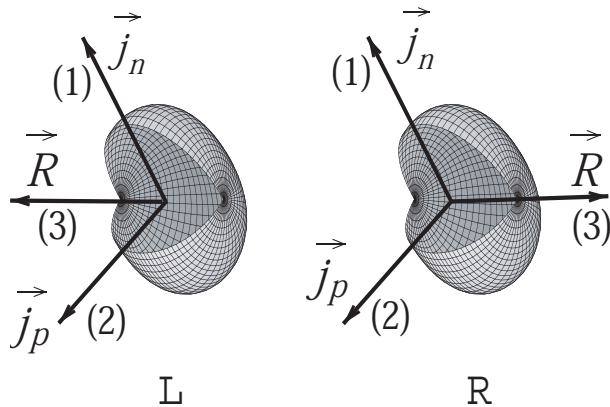
# FERA-VME Double Buffer Data Taking System

- Switching of two memory modules controlled by TUL
  - No dead time for data transfer from ADC/TDC to UMEM  
(VME universal memory module developed by Osaka Univ.)
  - For 1 event data size = 100byte
  - FERA ADC,TDC → UMEM  $29\mu\text{sec/event}$ 
    - \* Conversion time of ADC  $24\mu\text{sec/event}$
    - \* data transfer(20Mbyte/sec)  $5\mu\text{sec/event}$
  - UMEM → PC (5Mbyte/sec)  $20\mu\text{sec/event}$



# Nuclear Chirality

- For mass 80 region ( $\pi g_{9/2} \otimes \nu g_{9/2}^{-1}$ )
  1. 1-axis: longest axis of the triaxial shape  
 $j_n$ ; **neutron-hole** in a high- $j_n$  shell
  2. 2-axis: shortest axis  
 $j_p$ ; **proton-particle** in a high- $j_p$  shell
  3. 3-axis: intermediate axis of the triaxial shape  
 $R$ ; **core rotation**
- Three perpendicular angular momentum can be formed into two systems of handedness, the right-handed or the left-handed system



$$[O, H] = 0$$

$$O = TR(\pi)$$

$$H |IR\rangle = \epsilon_R |IR\rangle, \quad H |IL\rangle = \epsilon_L |IL\rangle$$

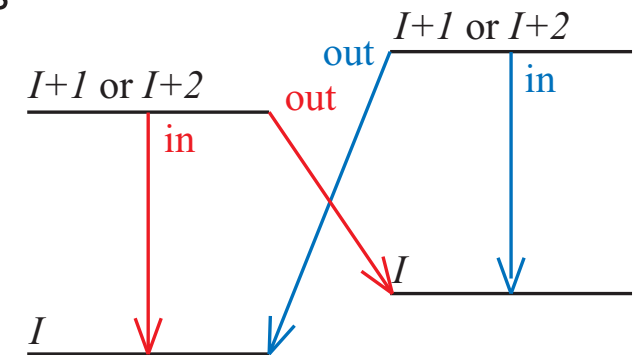
$$O |IR\rangle = |IL\rangle, \quad O |IL\rangle = |IR\rangle$$

$$\epsilon_R = \epsilon_L$$

$$\begin{cases} |IM+\rangle & = \frac{1}{\sqrt{2}} (|L\rangle + |R\rangle) \\ |IM-\rangle & = -\frac{i}{\sqrt{2}} (|L\rangle - |R\rangle) \end{cases}$$

# Criteria for Nuclear Chirality

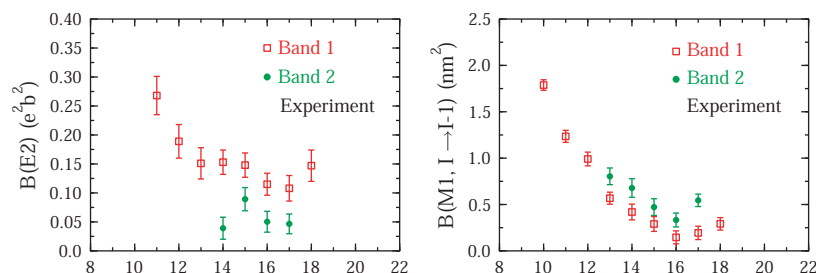
- **Nearly degenerate  $\Delta I = 1$  twin bands with the same parity**
  - observed in some odd-odd and odd- $A$  nuclei in  $A \sim 130$  region  
(**proton  $h_{11/2}$  particle** and **neutron  $h_{11/2}$  hole** configuration)  
\*  $^{124,126,128,130,132}\text{Cs}$ ,  $^{130,132,134}\text{La}$ ,  $^{132,134}\text{Pr}$ ,  $^{136}\text{Pm}$ ,  $^{138,140}\text{Eu}$ ,  $^{135}\text{Nd}$ ,  $^{135}\text{Ce}$
  - observed in some odd-odd and odd- $A$  nuclei in  $A \sim 100$  region  
(**proton  $g_{9/2}$  hole** and **neutron  $h_{11/2}$  particle** configuration)  
\*  $^{107}\text{Ag}$ ,  $^{102,103,104,105,106}\text{Rh}$ ,  $^{100}\text{Tc}$
- $B(E2 : I \rightarrow I - 2)_{\text{in,out}}$  and  $B(M1 : I \rightarrow I - 2)_{\text{in,out}}$  values are the **same or similar** between both bands.
  - **lifetime measurements** are required.
    - \* measured in  $^{134}\text{Pr}$ ,  $^{132}\text{La}$ , and  $^{128}\text{Cs}$
    - \* GS plus plunger experiment done for  $^{103,104}\text{Rh}$   
(RDDS; Recoil Distance Doppler shift Method)



# Lifetime measurements in the mass 130 region

## Lifetime measurement in $^{134}\text{Pr}$

- Euroball IV + Cologne plunger device
- RDDS/DSAM

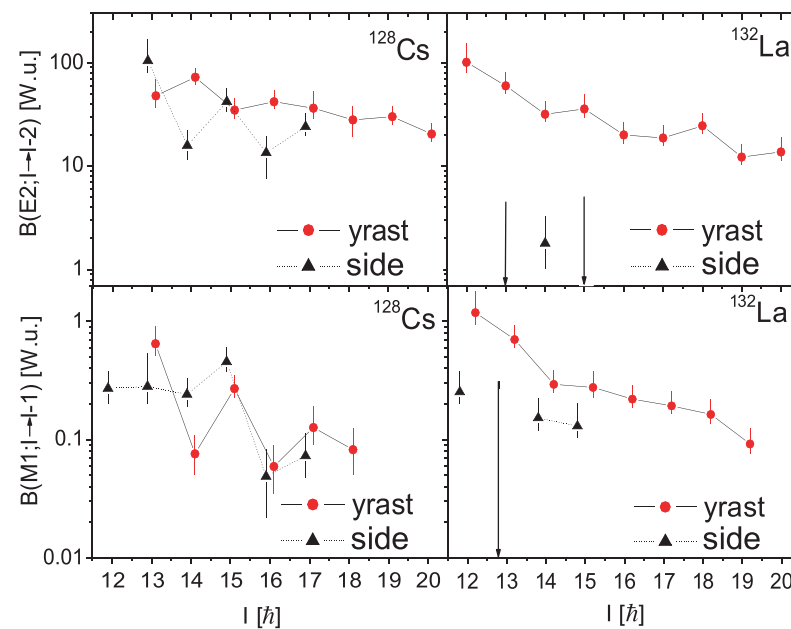


From D. Tonev et. al. Phys Rev. Lett.  
96 (2006) 052501

$^{128}\text{Cs}$  is best chiral candidates!

## Lifetime measurement in $^{128}\text{Cs}$ , $^{132}\text{La}$

- OSIRIS II (Warsaw)
- DSAM



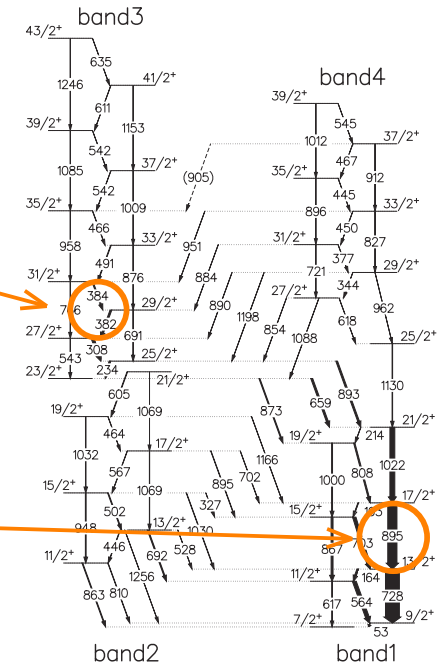
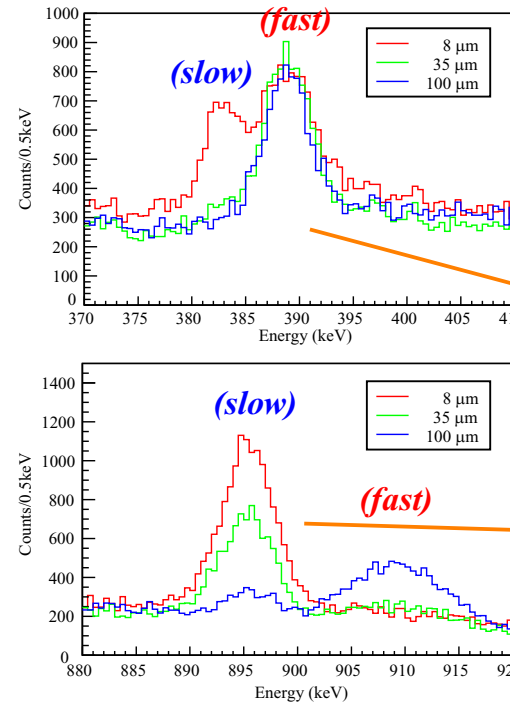
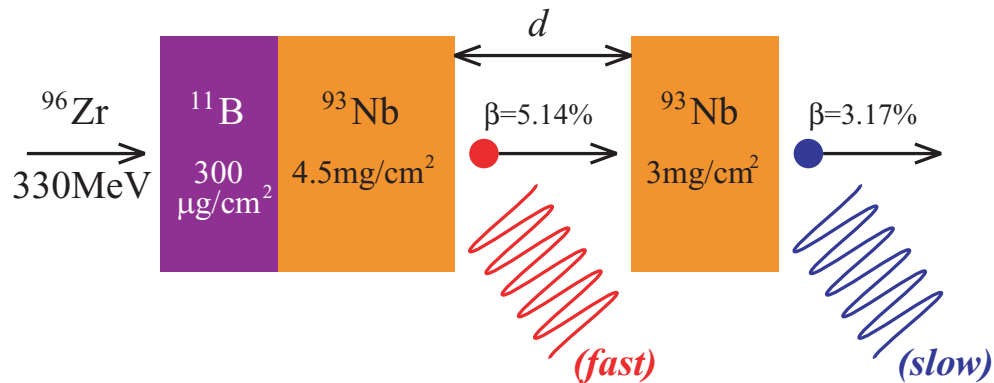
From E. Grodner et. al. Phys Rev. Lett.  
97 (2006) 172501



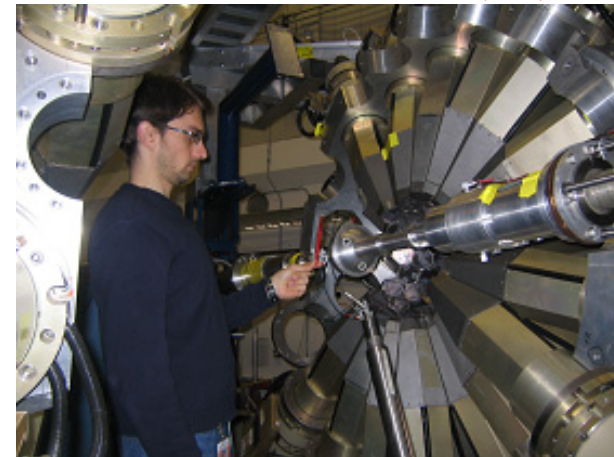
# GAMMASPHERE GSFMA169

Lifetime measurement of candidates chiral members in the  $A \sim 100$  region

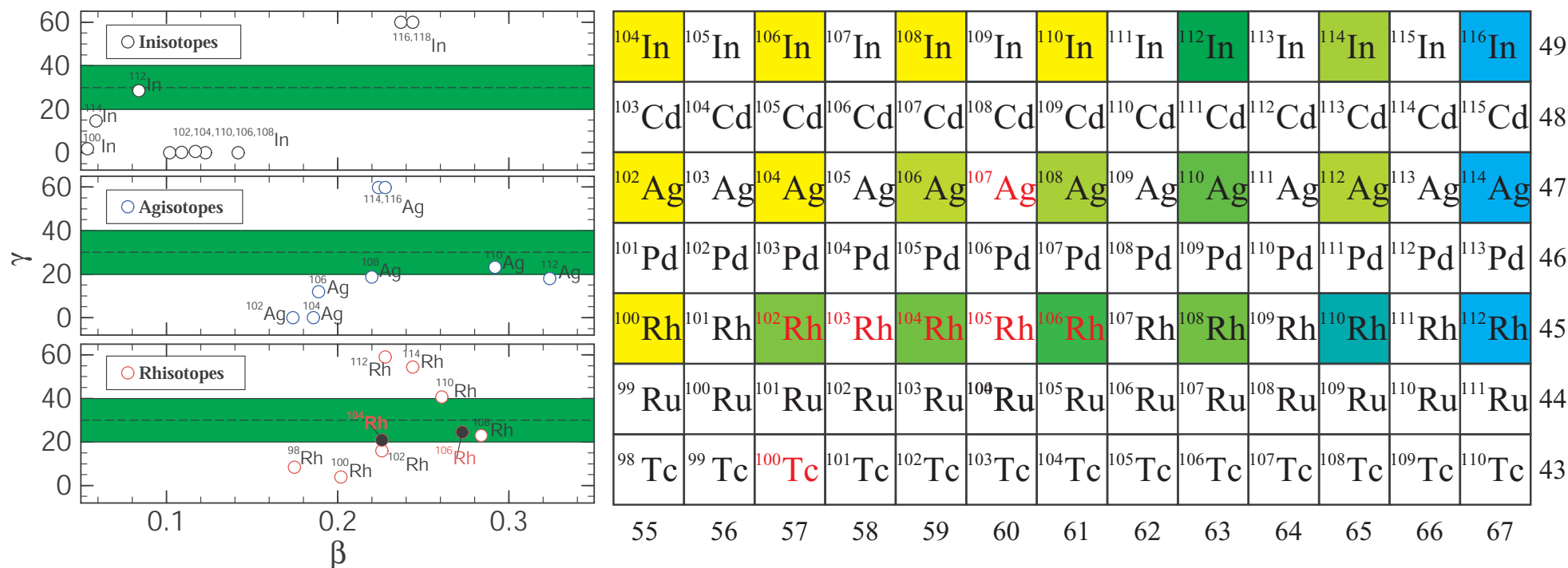
- Recoil Distance Doppler Shift Method (RDDS)
  - GAMMASPHERE Ge detectors array (Total 17-rings, 110 detectors with BGO-ACS)
  - Cologne univ. plunger device
- Inverse Kinematics Reaction
  - $^{11}\text{B}(^{96}\text{Zr}, xn)^{104,103}\text{Rh}$  ( $x=3,4$ )
  - $E(^{96}\text{Zr}) = 330\text{MeV}$  from ATLAS accelerator at ANL
  - 7 distances (8,15,23,35,50,75,100  $\mu\text{m}$ )



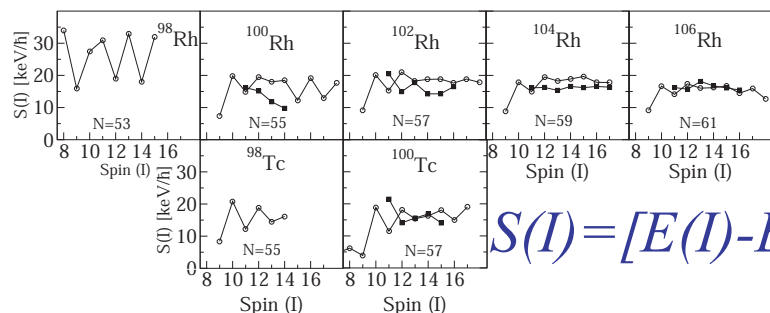
From J. Timar et. al. Phys Rev C 73 (2006) 011301



# Chiral Candidates and possible existence in the $A \sim 100$ region

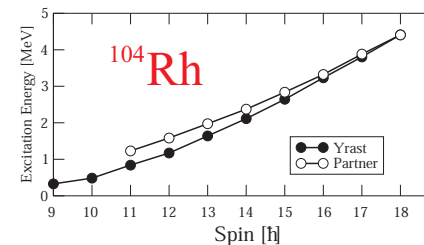


From J. Meng et. al. Phys. Rev. C 73 (2006) 037303



$$S(I) = [E(I) - E(I-2)] / 2I$$

From P. Joshi et. al. J. Phys. Nucl. Part. Phys. 31 (2005) S1895-S1898



From C. Vaman et. al. Phys. Rev. Lett. 92 (2004) 032501

## Nuclear Chirality in the $A \sim 80$ region

- proton  $h_{11/2}$  particle and neutron  $h_{11/2}$  hole configuration

$\updownarrow$   
 similar mechanism

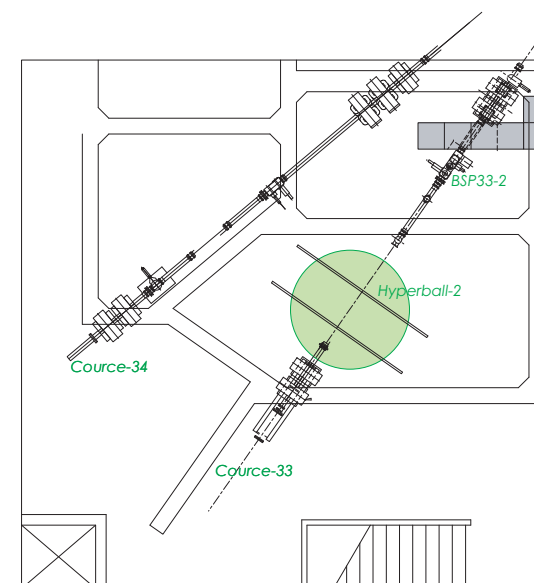
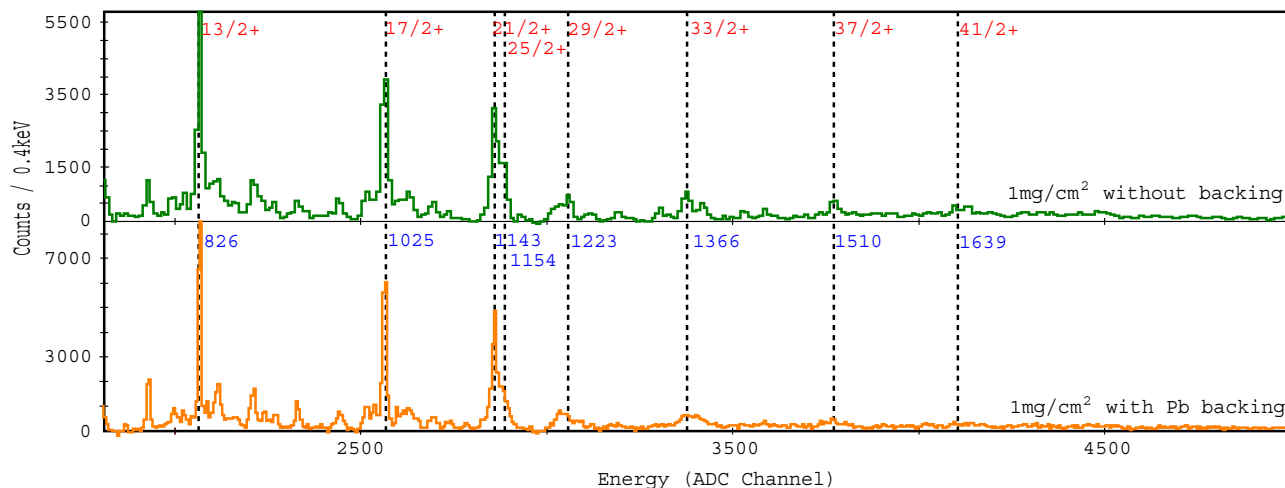
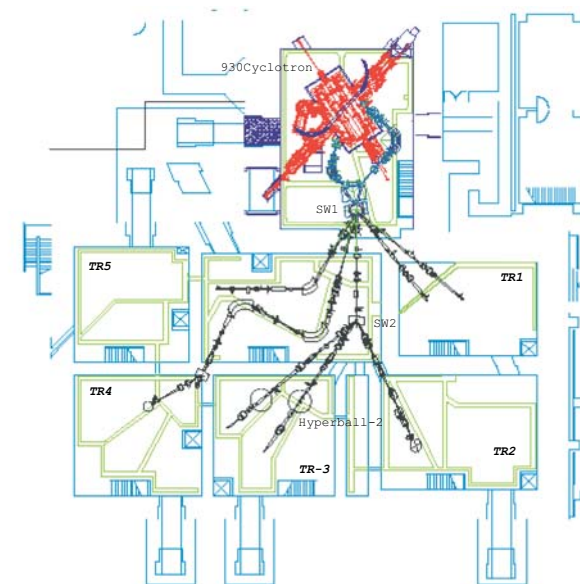
- proton  $g_{9/2}$  particle and neutron  $g_{9/2}$  hole configuration

### Search for chiral doublet in the new mass region

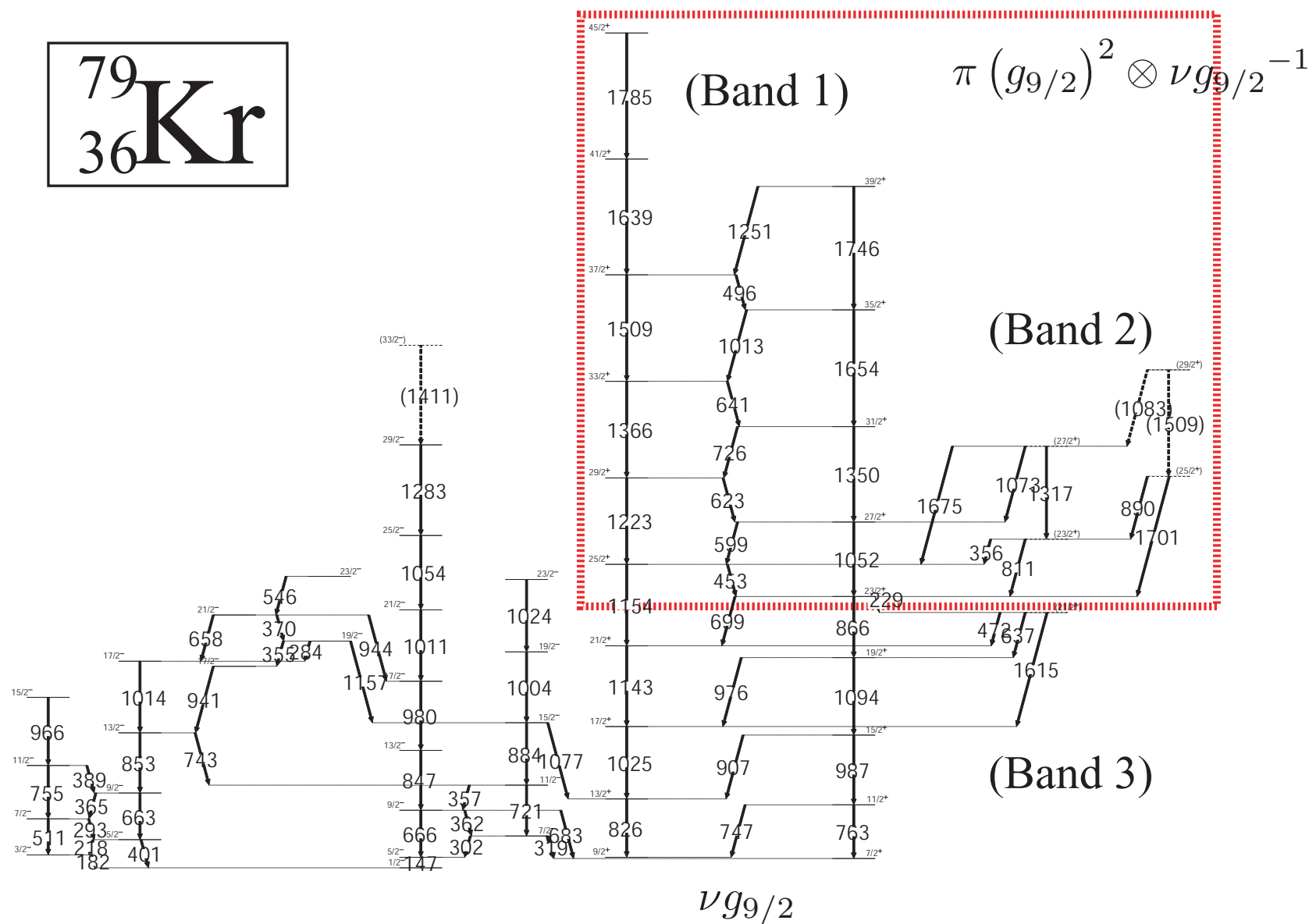
- $^{79}\text{Kr}$  (odd-A,  $\pi g_{9/2}^2 \otimes \nu g_{9/2}^{-1}$ )
- $^{80}\text{Br}$  (odd-odd,  $\pi g_{9/2} \otimes \nu g_{9/2}^{-1}$ )

# Experiment with Hyperball-2 in CYRIC

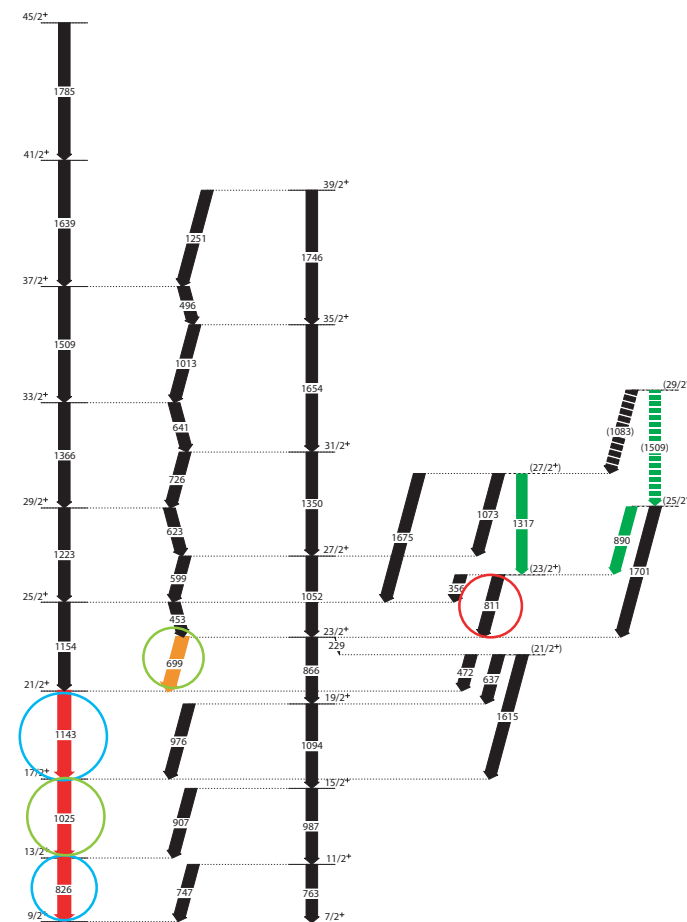
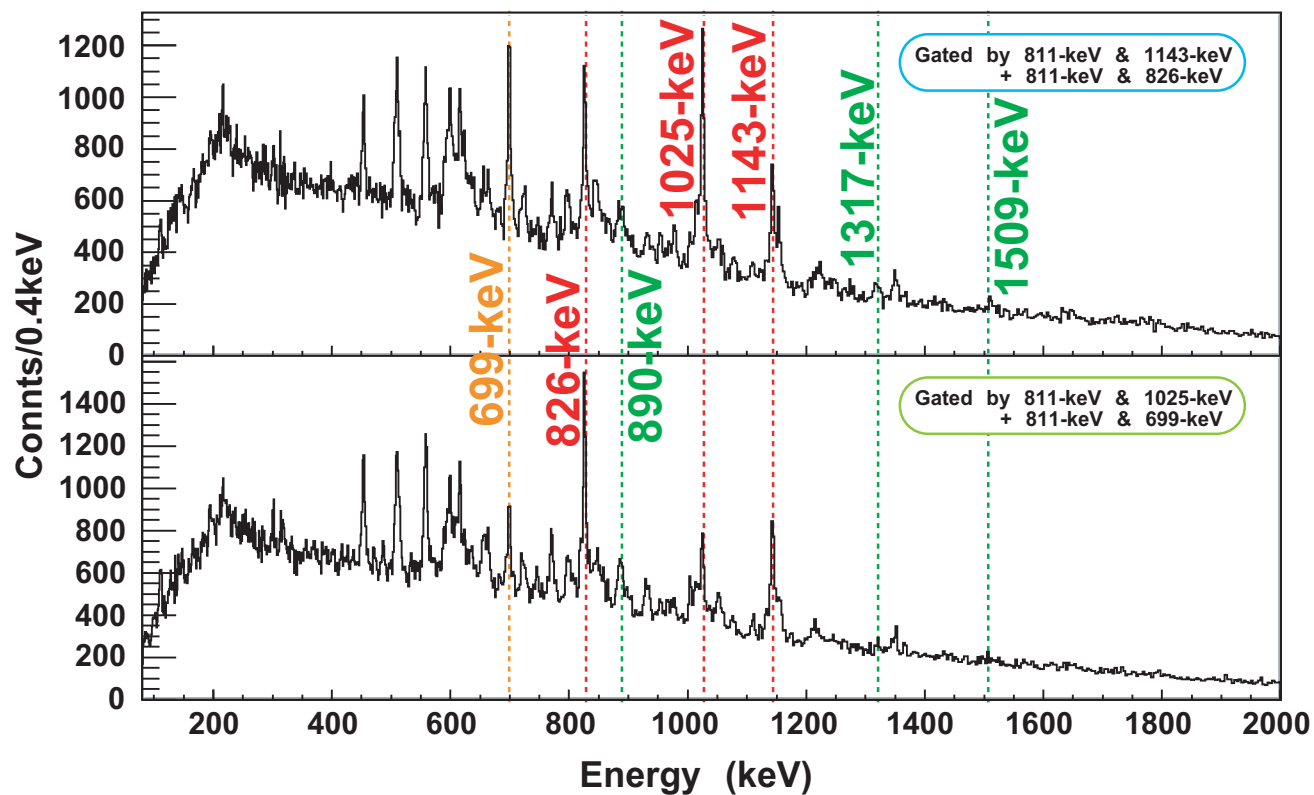
- Course 33 at CYRIC, Tohoku University
- Reaction and target
  - $^{70}\text{Zn}(^{13}\text{C},4n)^{79}\text{Kr}$ 
    - \* Beam:  $^{13}\text{C}^{3+}$  @ 65MeV from 930 cyclotron
    - \* Target:  $500\mu\text{g}/\text{cm}^2 \times 2$  70% enriched  $^{70}\text{Zn}$  (self-supporting, stacked)
  - $^{70}\text{Zn}(^{13}\text{C},p2n)^{80}\text{Br}$ 
    - \* Beam:  $^{13}\text{C}^{3+}$  @ 53MeV from 930 cyclotron
    - \* Target:  $1\text{mg}/\text{cm}^2$  70% enriched  $^{70}\text{Zn}$  (Pb backing,  $10\text{mg}/\text{cm}^2$ )
- HPGe array: Hyperball-2 for  $\gamma$  ray detection
- trigger:  $\gamma$ - $\gamma$ - $\gamma$  (triple coincidence)



# Deduced Level Scheme



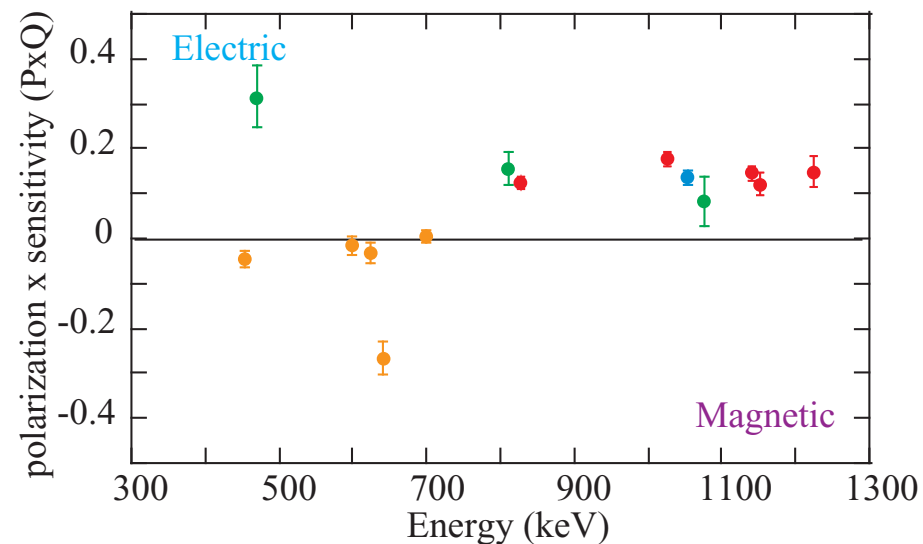
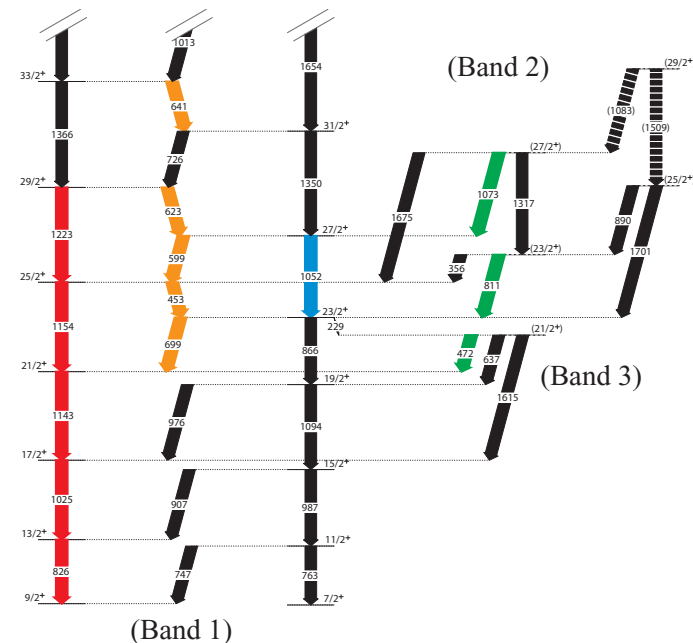
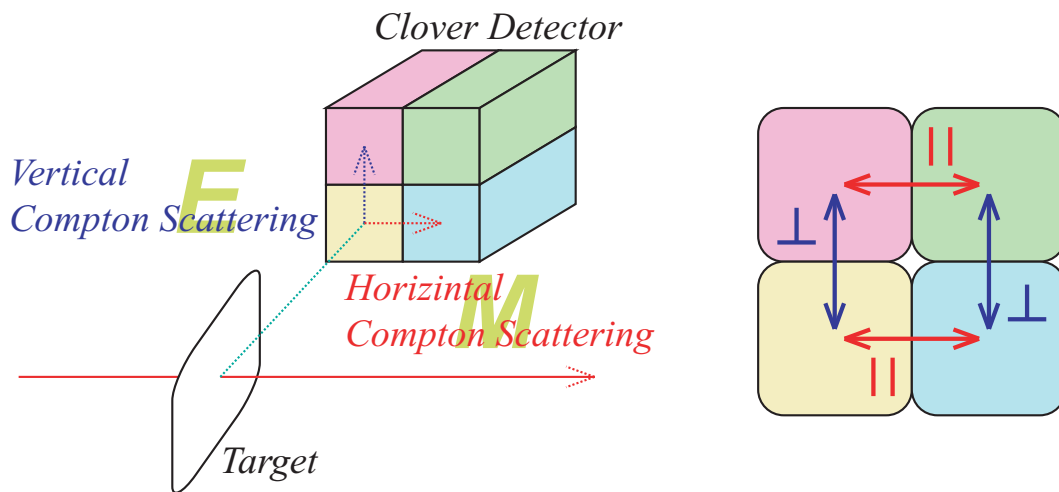
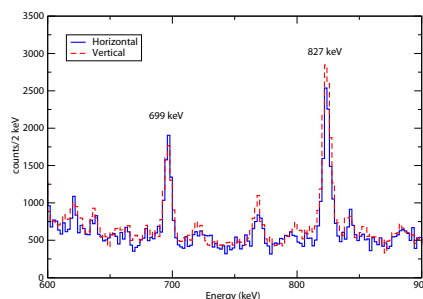
# $\gamma$ - $\gamma$ - $\gamma$ spectra



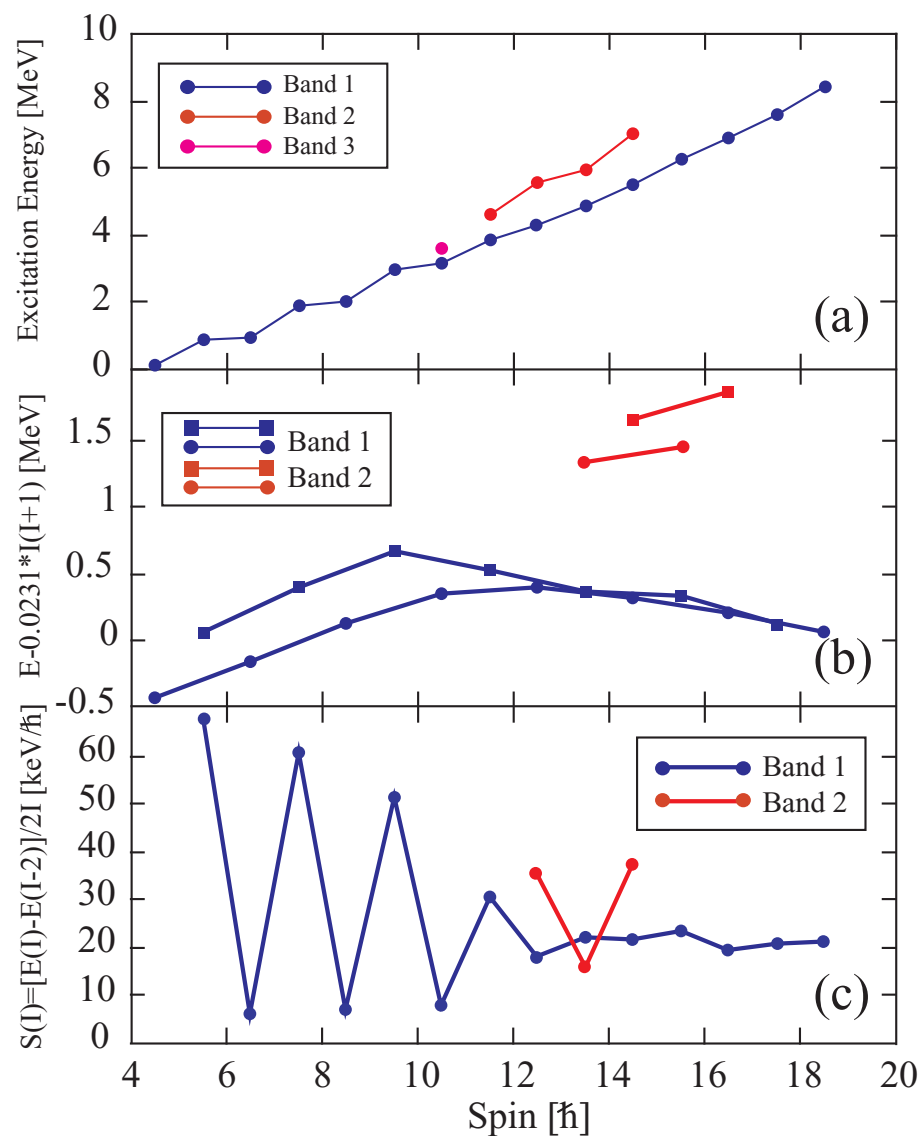
# Relative spin-parity assignment

- Linear polarization can be extracted with clover detectors to infer relative spin and parity.
  - Sign of  $P$  can be known without knowing sensitivity  $Q(E)$ .

$$P = \frac{1}{Q} \frac{N_{\perp} - N_{\parallel}}{N_{\perp} + N_{\parallel}}$$

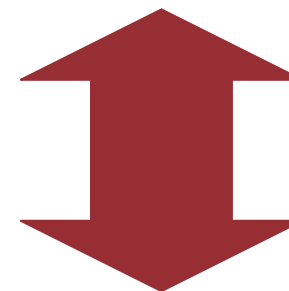


# Discussion of result: $^{79}\text{Kr}$



$I$	27/2	29/2	31/2	33/2
$E(I)_P - E(I)_Y$ in keV	811	1247	1079	1532

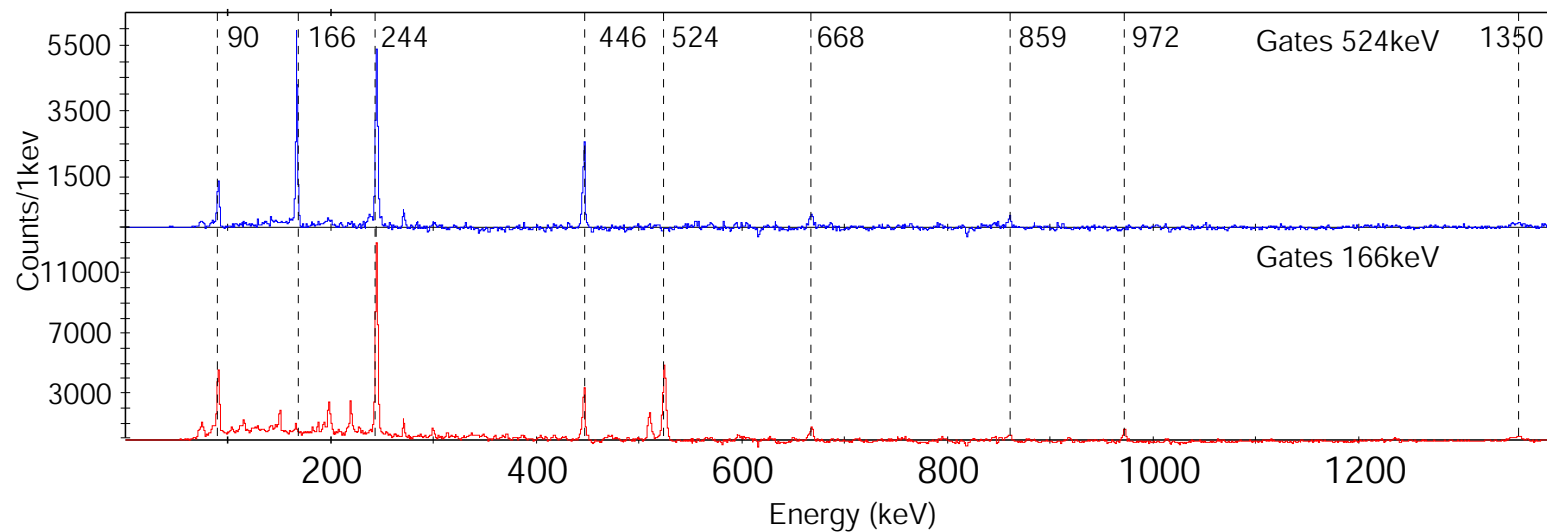
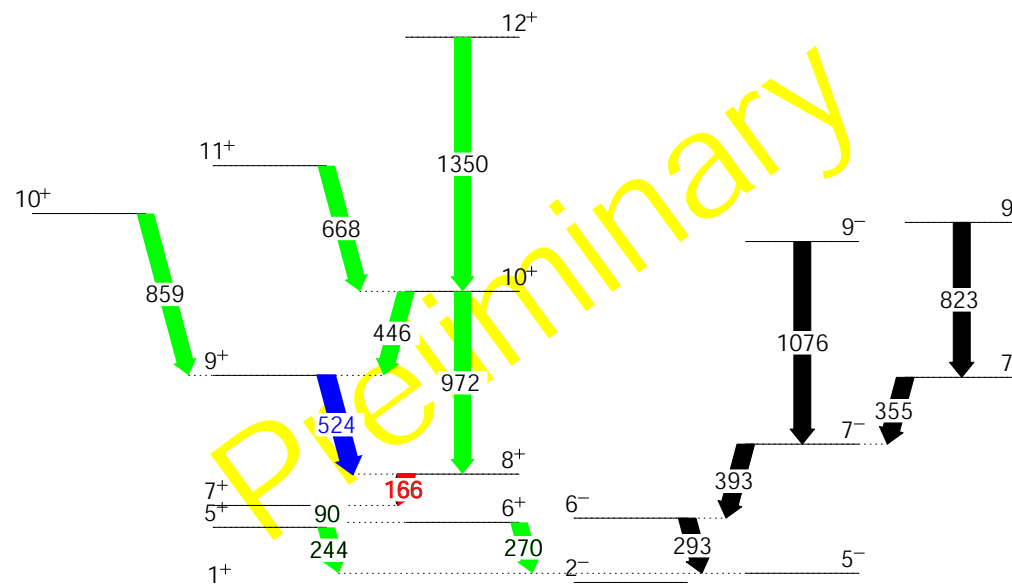
- If two bands are chiral partners...
  - Nearly degenerate between two bands.
  - Single particle states should be the same
  - $S(I) = [E(I) - E(I - 2)] / 2I$  should be smoothly varying.



The Current Result shows that the side band structures are of **non chiral**.



# $^{80}\text{Br}; ^{70}\text{Zn}(^{13}\text{C},p2n)@54\text{MeV}$



# Possible experiments in RCNP

<sup>104</sup> In	<sup>105</sup> In	<sup>106</sup> In	<sup>107</sup> In	<sup>108</sup> In	<sup>109</sup> In	<sup>110</sup> In	<sup>111</sup> In	<sup>112</sup> In	<sup>113</sup> In	<sup>114</sup> In	<sup>115</sup> In	<sup>116</sup> In	49
<sup>103</sup> Cd	<sup>104</sup> Cd	<sup>105</sup> Cd	<sup>106</sup> Cd	<sup>107</sup> Cd	<sup>108</sup> Cd	<sup>109</sup> Cd	<sup>110</sup> Cd	<sup>111</sup> Cd	<sup>112</sup> Cd	<sup>113</sup> Cd	<sup>114</sup> Cd	<sup>115</sup> Cd	48
<sup>102</sup> Ag	<sup>103</sup> Ag	<sup>104</sup> Ag	<del><sup>105</sup>Ag</del>	<del><sup>106</sup>Ag</del>	<del><sup>107</sup>Ag</del>	<sup>108</sup> Ag	<sup>109</sup> Ag	<sup>110</sup> Ag	<sup>111</sup> Ag	<sup>112</sup> Ag	<sup>113</sup> Ag	<sup>114</sup> Ag	47
<sup>101</sup> Pd	<sup>102</sup> Pd	<sup>103</sup> Pd	<sup>104</sup> Pd	<sup>105</sup> Pd	<sup>106</sup> Pd	<sup>107</sup> Pd	<sup>108</sup> Pd	<sup>109</sup> Pd	<sup>110</sup> Pd	<sup>111</sup> Pd	<sup>112</sup> Pd	<sup>113</sup> Pd	46
<sup>100</sup> Rh	<sup>101</sup> Rh	<sup>102</sup> Rh	<del><sup>103</sup>Rh</del>	<del><sup>104</sup>Rh</del>	<del><sup>105</sup>Rh</del>	<del><sup>106</sup>Rh</del>	<sup>107</sup> Rh	<sup>108</sup> Rh	<sup>109</sup> Rh	<sup>110</sup> Rh	<sup>111</sup> Rh	<sup>112</sup> Rh	45
<sup>99</sup> Ru	<sup>100</sup> Ru	<sup>101</sup> Ru	<sup>102</sup> Ru	<sup>103</sup> Ru	<sup>104</sup> Ru	<sup>105</sup> Ru	<sup>106</sup> Ru	<sup>107</sup> Ru	<sup>108</sup> Ru	<sup>109</sup> Ru	<sup>110</sup> Ru	<sup>111</sup> Ru	44
<sup>98</sup> Tc	<sup>99</sup> Tc	<del><sup>100</sup>Tc</del>	<del><sup>101</sup>Tc</del>	<del><sup>102</sup>Tc</del>	<del><sup>103</sup>Tc</del>	<del><sup>104</sup>Tc</del>	<del><sup>105</sup>Tc</del>	<sup>106</sup> Tc	<sup>107</sup> Tc	<sup>108</sup> Tc	<sup>109</sup> Tc	<sup>110</sup> Tc	43
55	56	57	58	59	60	61	62	63	64	65	66	67	

1. RCNP can provide various heavy ion beam.
2. The germanium detectors array will be installed in EN course.
  - 15 detectors  
 $\iff \gamma\text{-}\gamma\text{-}\gamma$  coincidence
  - 4 angles  
 $\iff$  determine transition multipolarity with angular distribution (DCO ratio).
  - The segmented detector is placed  $90^\circ$ .  
 $\iff$  determine electric or magnetic transition with linear polarization.
  - Lifetime measurement with DSAM method for higher spin states.

- <sup>112</sup>In
  - <sup>110</sup>Cd( $\alpha$ ,pn)... M. Eibert et.al. J. Phys. G: Nucl. Phys. 2 (1976) L203
  - <sup>96</sup>Zr(<sup>22</sup>Ne,p5n)
  - <sup>70</sup>Zn(<sup>48</sup>Ca,p5n)
- <sup>108</sup>Ag (<sup>109</sup>Ag, <sup>110</sup>Ag)
  - <sup>100</sup>Mo(<sup>11</sup>B,3n)... F.R. Espinoza-Quiñones et. al. Phys. Rev. C 52 (1995)
  - <sup>96</sup>Zr(<sup>15</sup>N,3n)
  - <sup>96</sup>Zr(<sup>18</sup>O,p5n)

$$E_{\text{beam}} \sim 4\text{MeV/u}$$

# Summary

1. Hyperball-2
2. Nuclear Chirality
  - Criteria for Nuclear Chirality
  - Lifetime Measurements
  - Chiral Candidates and Possible Existence in the  $A \sim 100$  region
3. Experiments with Hyperball-2
  - $\gamma$ - $\gamma$ - $\gamma$  coincidence, Linear Polarization
  - The observed side band structures in  $^{79}\text{Kr}$  are of non chiral.
4.  $^{112}\text{In}$  is best idea for Chiral doublet search in RCNP.

# Nuclear Chart in the $A \sim 100$ region

<sup>96</sup> In	<sup>97</sup> In	<sup>98</sup> In	<sup>99</sup> In	<sup>100</sup> In	<sup>101</sup> In	<sup>102</sup> In	<sup>103</sup> In	<sup>104</sup> In	<sup>105</sup> In	<sup>106</sup> In	<sup>107</sup> In	<sup>108</sup> In	<sup>109</sup> In	<sup>110</sup> In	<sup>111</sup> In	<sup>112</sup> In	<sup>113</sup> In	<sup>114</sup> In	<sup>115</sup> In	<sup>116</sup> In	49
<sup>95</sup> Cd	<sup>96</sup> Cd	<sup>97</sup> Cd	<sup>98</sup> Cd	<sup>99</sup> Cd	<sup>100</sup> Cd	<sup>101</sup> Cd	<sup>102</sup> Cd	<sup>103</sup> Cd	<sup>104</sup> Cd	<sup>105</sup> Cd	<sup>106</sup> Cd	<sup>107</sup> Cd	<sup>108</sup> Cd	<sup>109</sup> Cd	<sup>110</sup> Cd	<sup>111</sup> Cd	<sup>112</sup> Cd	<sup>113</sup> Cd	<sup>114</sup> Cd	<sup>115</sup> Cd	48
<sup>94</sup> Ag	<sup>95</sup> Ag	<sup>96</sup> Ag	<sup>97</sup> Ag	<sup>98</sup> Ag	<sup>99</sup> Ag	<sup>100</sup> Ag	<sup>101</sup> Ag	<sup>102</sup> Ag	<sup>103</sup> Ag	<sup>104</sup> Ag	<sup>105</sup> Ag	<sup>106</sup> Ag	<sup>107</sup> Ag	<sup>108</sup> Ag	<sup>109</sup> Ag	<sup>110</sup> Ag	<sup>111</sup> Ag	<sup>112</sup> Ag	<sup>113</sup> Ag	<sup>114</sup> Ag	47
<sup>93</sup> Pd	<sup>94</sup> Pd	<sup>95</sup> Pd	<sup>96</sup> Pd	<sup>97</sup> Pd	<sup>98</sup> Pd	<sup>99</sup> Pd	<sup>100</sup> Pd	<sup>101</sup> Pd	<sup>102</sup> Pd	<sup>103</sup> Pd	<sup>104</sup> Pd	<sup>105</sup> Pd	<sup>106</sup> Pd	<sup>107</sup> Pd	<sup>108</sup> Pd	<sup>109</sup> Pd	<sup>110</sup> Pd	<sup>111</sup> Pd	<sup>112</sup> Pd	<sup>113</sup> Pd	46
<sup>92</sup> Rh	<sup>93</sup> Rh	<sup>94</sup> Rh	<sup>95</sup> Rh	<sup>96</sup> Rh	<sup>97</sup> Rh	<sup>98</sup> Rh	<sup>99</sup> Rh	<sup>100</sup> Rh	<sup>101</sup> Rh	<sup>102</sup> Rh	<sup>103</sup> Rh	<sup>104</sup> Rh	<sup>105</sup> Rh	<sup>106</sup> Rh	<sup>107</sup> Rh	<sup>108</sup> Rh	<sup>109</sup> Rh	<sup>110</sup> Rh	<sup>111</sup> Rh	<sup>112</sup> Rh	45
<sup>91</sup> Ru	<sup>92</sup> Ru	<sup>93</sup> Ru	<sup>94</sup> Ru	<sup>95</sup> Ru	<sup>96</sup> Ru	<sup>97</sup> Ru	<sup>98</sup> Ru	<sup>99</sup> Ru	<sup>100</sup> Ru	<sup>101</sup> Ru	<sup>102</sup> Ru	<sup>103</sup> Ru	<sup>104</sup> Ru	<sup>105</sup> Ru	<sup>106</sup> Ru	<sup>107</sup> Ru	<sup>108</sup> Ru	<sup>109</sup> Ru	<sup>110</sup> Ru	<sup>111</sup> Ru	44
<sup>90</sup> Tc	<sup>91</sup> Tc	<sup>92</sup> Tc	<sup>93</sup> Tc	<sup>94</sup> Tc	<sup>95</sup> Tc	<sup>96</sup> Tc	<sup>97</sup> Tc	<sup>98</sup> Tc	<sup>99</sup> Tc	<sup>100</sup> Tc	<sup>101</sup> Tc	<sup>102</sup> Tc	<sup>103</sup> Tc	<sup>104</sup> Tc	<sup>105</sup> Tc	<sup>106</sup> Tc	<sup>107</sup> Tc	<sup>108</sup> Tc	<sup>109</sup> Tc	<sup>110</sup> Tc	43
<sup>89</sup> Mo	<sup>90</sup> Mo	<sup>91</sup> Mo	<sup>92</sup> Mo	<sup>93</sup> Mo	<sup>94</sup> Mo	<sup>95</sup> Mo	<sup>96</sup> Mo	<sup>97</sup> Mo	<sup>98</sup> Mo	<sup>99</sup> Mo	<sup>100</sup> Mo	<sup>101</sup> Mo	<sup>102</sup> Mo	<sup>103</sup> Mo	<sup>104</sup> Mo	<sup>105</sup> Mo	<sup>106</sup> Mo	<sup>107</sup> Mo	<sup>108</sup> Mo	<sup>109</sup> Mo	42
<sup>88</sup> Nb	<sup>89</sup> Nb	<sup>90</sup> Nb	<sup>91</sup> Nb	<sup>92</sup> Nb	<sup>93</sup> Nb	<sup>94</sup> Nb	<sup>95</sup> Nb	<sup>96</sup> Nb	<sup>97</sup> Nb	<sup>98</sup> Nb	<sup>99</sup> Nb	<sup>100</sup> Nb	<sup>101</sup> Nb	<sup>102</sup> Nb	<sup>103</sup> Nb	<sup>104</sup> Nb	<sup>105</sup> Nb	<sup>106</sup> Nb	<sup>107</sup> Nb	<sup>108</sup> Nb	41
<sup>87</sup> Zr	<sup>88</sup> Zr	<sup>89</sup> Zr	<sup>90</sup> Zr	<sup>91</sup> Zr	<sup>92</sup> Zr	<sup>93</sup> Zr	<sup>94</sup> Zr	<sup>95</sup> Zr	<sup>96</sup> Zr	<sup>97</sup> Zr	<sup>98</sup> Zr	<sup>99</sup> Zr	<sup>100</sup> Zr	<sup>101</sup> Zr	<sup>102</sup> Zr	<sup>103</sup> Zr	<sup>104</sup> Zr	<sup>105</sup> Zr	<sup>106</sup> Zr	<sup>107</sup> Zr	40
<sup>86</sup> Y	<sup>87</sup> Y	<sup>88</sup> Y	<sup>89</sup> Y	<sup>90</sup> Y	<sup>91</sup> Y	<sup>92</sup> Y	<sup>93</sup> Y	<sup>94</sup> Y	<sup>95</sup> Y	<sup>96</sup> Y	<sup>97</sup> Y	<sup>98</sup> Y	<sup>99</sup> Y	<sup>100</sup> Y	<sup>101</sup> Y	<sup>102</sup> Y	<sup>103</sup> Y	<sup>104</sup> Y	<sup>105</sup> Y	<sup>106</sup> Y	39
<sup>85</sup> Sr	<sup>86</sup> Sr	<sup>87</sup> Sr	<sup>88</sup> Sr	<sup>89</sup> Sr	<sup>90</sup> Sr	<sup>91</sup> Sr	<sup>92</sup> Sr	<sup>93</sup> Sr	<sup>94</sup> Sr	<sup>95</sup> Sr	<sup>96</sup> Sr	<sup>97</sup> Sr	<sup>98</sup> Sr	<sup>99</sup> Sr	<sup>100</sup> Sr	<sup>101</sup> Sr	<sup>102</sup> Sr	<sup>103</sup> Sr	<sup>104</sup> Sr	<sup>105</sup> Sr	38
<sup>84</sup> Rb	<sup>85</sup> Rb	<sup>86</sup> Rb	<sup>87</sup> Rb	<sup>88</sup> Rb	<sup>89</sup> Rb	<sup>90</sup> Rb	<sup>91</sup> Rb	<sup>92</sup> Rb	<sup>93</sup> Rb	<sup>94</sup> Rb	<sup>95</sup> Rb	<sup>96</sup> Rb	<sup>97</sup> Rb	<sup>98</sup> Rb	<sup>99</sup> Rb	<sup>100</sup> Rb	<sup>101</sup> Rb	<sup>102</sup> Rb	<sup>103</sup> Rb	<sup>104</sup> Rb	37
<sup>83</sup> Kr	<sup>84</sup> Kr	<sup>85</sup> Kr	<sup>86</sup> Kr	<sup>87</sup> Kr	<sup>88</sup> Kr	<sup>89</sup> Kr	<sup>90</sup> Kr	<sup>91</sup> Kr	<sup>92</sup> Kr	<sup>93</sup> Kr	<sup>94</sup> Kr	<sup>95</sup> Kr	<sup>96</sup> Kr	<sup>97</sup> Kr	<sup>98</sup> Kr	<sup>99</sup> Kr	<sup>100</sup> Kr	<sup>101</sup> Kr	<sup>102</sup> Kr	<sup>103</sup> Kr	36
<sup>82</sup> Br	<sup>83</sup> Br	<sup>84</sup> Br	<sup>85</sup> Br	<sup>86</sup> Br	<sup>87</sup> Br	<sup>88</sup> Br	<sup>89</sup> Br	<sup>90</sup> Br	<sup>91</sup> Br	<sup>92</sup> Br	<sup>93</sup> Br	<sup>94</sup> Br	<sup>95</sup> Br	<sup>96</sup> Br	<sup>97</sup> Br	<sup>98</sup> Br	<sup>99</sup> Br	<sup>100</sup> Kr	<sup>101</sup> Kr	<sup>102</sup> Kr	35
47	48	49	50	51	52	53	54	55	56	57	58	59	60	61	62	63	64	65	66	67	